

REVISION DEL GENERO *HURIUS* SIMON, 1901 (ARANEAE, SALTICIDAE)

María Elena Galiano

Museo Argentino de Ciencias Naturales "Bernardino Rivadavia"
Av. Angel Gallardo 470
1405 Buenos Aires, R. Argentina

ABSTRACT

The genus *Hurius* is redefined to include the male diagnostic characters. Males of *Hurius* can be distinguished by the unidentate chelicerae with four or five teeth on promargin and by the presence of two big retrolateral apophyses on the palpal tibia. *Spinurius* Mello-Leitão, 1941 is newly synonymized and *H. aeneus* (Mello-Leitão, 1941); a new combination is established. Males of *H. vulpinus* and females of *H. aeneus* are described for the first time. Two new species are described: *Hurius petrohue* from Chile and *H. pisac* from Peru.

INTRODUCCION

El género *Hurius* Simon, 1901 fue descrito originalmente con una sola especie, *H. vulpinus* Simon, 1901, basada sobre ejemplares femeninos. Al estudiar colecciones de material indeterminado pertenecientes al Museum of Comparative Zoology, se halló un lote con hembras y machos de *H. vulpinus*, lo que permite ampliar la diagnosis del género con los caracteres del palpo del macho, hasta ahora desconocidos, que son muy particulares.

En 1944, Mello-Leitão incorporó dos especies al género, *H. costulatus* y *H. tristis*. La primera de estas especies fue transferida (Galiano, 1970) al género *Tullgrenella* como un sinónimo de *T. quadripunctata*. En cuanto a *H. tristis* debe ser excluida del género y transferida a otro taxon que se publicará próximamente.

En el presente estudio se incorporan al género dos especies, *H. petrohue* n. sp. y *H. pisac* n. sp. y se considera que *Spinurius* Mello-Leitão, 1941 es un sinónimo de *Hurius*, por lo que se establece *Hurius aeneus* (Mello-Leitão, 1941) nueva combinación. Se describen por primera vez las hembras de esta especie.

Nada se conoce sobre la biología de las especies de *Hurius*, pero todos los ejemplares provienen de áreas montañosas ubicadas en la Cordillera de los Andes o en la Precordillera. Es probable que vivan bajo piedras.

Material y métodos.—Las medidas se expresan en milímetros y fueron tomadas según se explica en una publicación anterior (Galiano, 1963). La quietotaxia se menciona según el sistema de Platnick y Shadab (1975) con ligeras modificaciones. Las abreviaturas son las siguientes: OMA, OLA, OMP y OLP, ojos medios anteriores, laterales anteriores,

medios posteriores y laterales posteriores, respectivamente; p, prolateral, r, retrolateral, v, ventral, d, dorsal, ap, apical; MACN, Museo Argentino de Ciencias Naturales "Bernardino Rivadavia"; MCZ, Museum of Comparative Zoology; MNHN, Muséum National d'Histoire Naturelle, París; MLP, Museo de La Plata.

Hurius Simon, 1901

Hurius Simon 1901a: 583, 585 (n. gen.) Petrunkevitch 1928:202. Neave 1939:702. Roewer 1954: 1184. Bonnet 1957:2237. Brignoli 1983:627.

Spinurius Mello-Leitão 1941:187 (n. gen.). Roewer 1954:1185. Brignoli 1983:628, 749 (*Spinutius, lapsus*). NUEVA SINONIMIA.

Diagnosis (revisada).—Quelíceros con tres o más dientes en el promargen como en *Sitticus* Simon, 1901, del cual se diferencia por tener un diente en el retromargen, muy cercano a la base de la uña, y por presentar dos apófisis tibiales en el palpo. Se distingue de *Scoturius* y *Atelurius* cuyos quelíceros son semejantes, por la forma del palpo.

Descripción.—Prosoma robusto (ancho 44-47% del largo), mitad anterior de la región torácica en el mismo nivel que la cefálica. Estría torácica pequeña, algo alejada de los ojos posteriores. Área ocular más ancha que larga, más ancha atrás que adelante y con los OMP más próximos a los OLA que a OLP. El largo del área ocular representa aproximadamente el 40% del largo del prosoma. Clípeo bajo, menor que el radio de OMA. Esternón relativamente angosto, ancho del extremo anterior igual a la base del labio. Láminas maxilares redondeadas. Quelíceros paralelos, verticales, surco ungueal muy breve; promargen con tres dientes, a menudo los dos mayores sobre una base común y uno a tres pequeños dientes suplementarios; retromargen con un diente, situado muy próximo a la base de la uña. Patas espinosas. Pata III siempre más corta que la IV. Palpo del macho con dos apófisis tibiales retrolaterales muy desarrolladas, de las cuales la inferior está recubierta por gruesas cerdas. El émbolo es breve y nace en el borde prolateral superior del bulbo. Epigino con mecanismo de anclaje formado por uno o dos bolsillos de ubicación variable. Las aberturas de entrada se continúan por un ancho conducto más o menos cilíndrico, que desemboca en una cámara esférica de la cual parte por un lado un delgado conducto ciego (con glándulas en el extremo) y por otro las espermatecas, que son esféricas y ubicadas a cada lado de la línea media.

Especie tipo.—*Hurius vulpinus* Simon, 1901b.

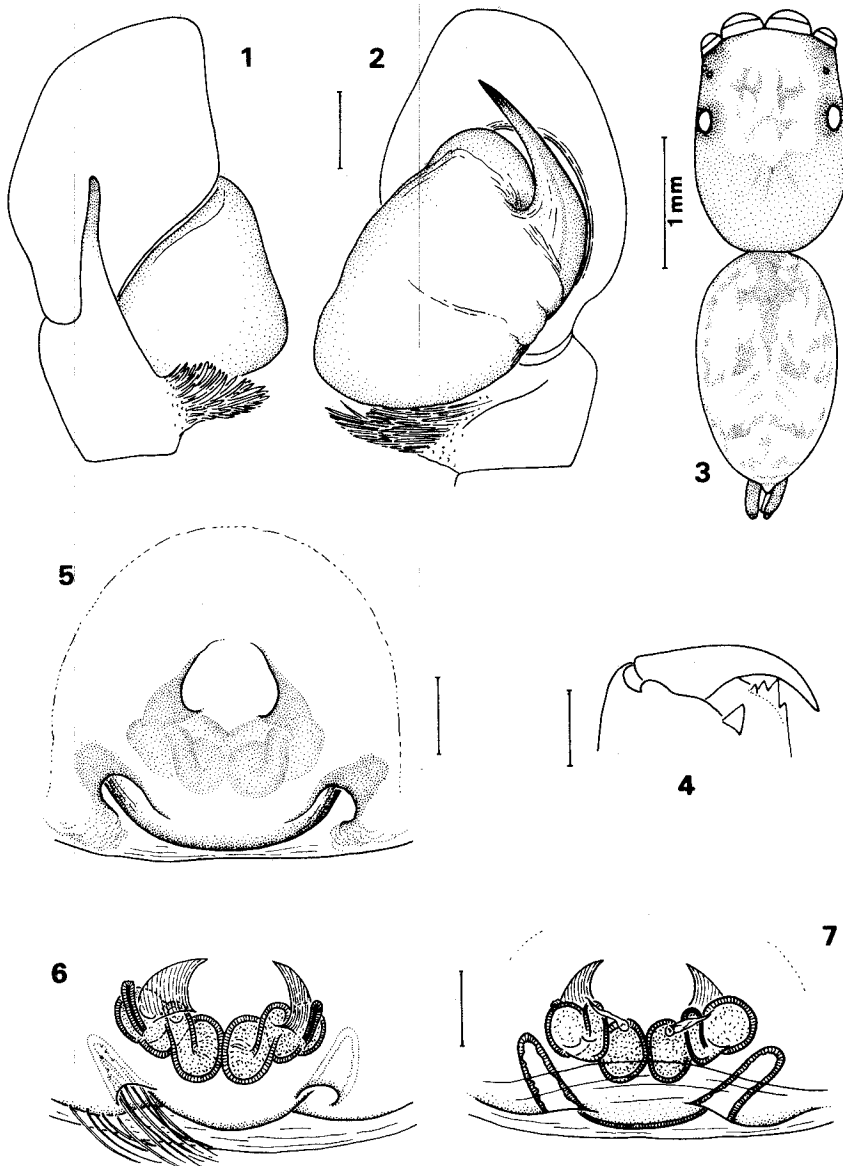
Hurius vulpinus Simon, 1901

Figs. 1-7

Hurius vulpinus Simon 1901b:154 (1 hembra Lectotypus y 1 hembra Paralectotypus, de Ecuador: Quito, en MNHN, examinado); 1901a:583, 585 fig. 708. Petrunkevitch 1911:658; 1928:202. Roewer 1954:1184. Bonnet 1957:2237. Galiano 1963:363, lám. 19, fig. 16.

Descripción de la hembra N^o 7923 MACN.—Largo total 3.93. Prosoma: largo 1.70, ancho 1.30, alto 0.70. Clípeo, alto 0.06. Área ocular: largo 0.73; ancho de hilera anterior 1.08; de hilera posterior 1.20; distancia OLA-OMP 0.16; OMP-OLP 0.18; diámetro OMA 0.36. Estría torácica, situada 0.26 más atrás del borde posterior de OLP. Quelíceros con surco ungueal muy breve; retromargen con un diente muy próximo a la base de la uña; promargen con cuatro dientes (dos angulares mayores) sobre una base común. Patas IV-I-III-II. Quetotaxia: Fémures I, II d 1-1-1, p ap 1; III d 1-1-1, p ap 2, r ap 1; IV d 1-1-

1, p ap 1, r ap 1. Patellas III, IV r 1. Tibias I v 2-2-1p; II v lr-lr-lp, p 1; III v lp-lp, p 1-1, r 1-1-1; IV v lp-2, p 1-1-1, r 1-1-1. Metatarsos I, II v 2-2; III v ap 2, p 1-2, r 1-2; IV v lp-2, p 1-2, r 1-1-2. Epigino: El borde posterior grueso y esclerosado, con dos profundos bolsillos infundibuliformes de anclaje, en cuyos bordes y parte interna se implantan largas cerdas plumosas de función desconocida. Los orificios de entrada a los conductos de las espermatecas se abren en el campo medio del epigino, seguidos por anchos conductos que desembocan en una cámara esférica, que a su vez se conecta por medio de un conducto espiral con la espermateca, esférica, mediana y relativamente pequeña. (Figs. 5-7). Aspecto y color en alcohol: prosoma pardo anaranjado, con la región cefálica amarilla, con



Figs. 1-7.—*Hurius vulpinus* Simon, macho: 1 palpo, retrolateral; 2, palpo, ventral; 3, cuerpo; 4, quelícero, cara posterior. Hembra: 5, epigino; 6, epigino clarificado, vista ventral (se dibujan los pelos de un solo lado); 7, el mismo, vista dorsal. Escala 100 μ , salvo indicación.

manchas marmoradas de guanina blanca que se ven por transparencia. Sobre la región torácica, líneas radiantes pardas a partir de la estría. Pelos pardos y blancos, entremezclados; una mancha de pelos blancos sobre la estría y dos manchas en el medio del área ocular; pelos blancos en el margen anterior, alrededor de los ojos anteriores y en el espacio entre OLP y OMP; pelos blancos en los costados y en el declive torácico. El espacio bajo los OLA ocupado por pelos blancos. Desde el borde externo de cada OMA salen largos pelos blancos dirigidos oblicuamente, convergentes en la línea media. Quelíceros amarillentos, con pelos blancos en la cara anterior. Patas pardo amarillento, con abundantes pelos blancos. Palpos amarillos, con tarsos pardo claro con abundantes pelos blancos. Opistosoma amarillo pardusco, con manchas de guanina blanca que se ven por transparencia y bandas pardas con pelos pardo rojizo que forman un diseño de bandas en V invertidas. Vientre amarillo, con manchas de guanina blanca; en el medio, una banda pardusca.

Descripción del macho N^o 7923 MACN.—Largo total 3.60. Prosoma: largo 1.80, ancho 1.33, alto 0.83. Clípeo, alto 0.11. Área ocular: largo 0.80; ancho de hilera anterior 1.13; de hilera posterior 1.21; distancia OLA-OMP 0.18; OMP-OLP 0.23; diámetro OMA 0.36. Estría torácica, situada 0.25 más atrás del borde posterior de OLP. Láminas maxilares con ángulo redondeado. Esternón algo estrechado adelante, levemente más angosto que la base del labio. Quelíceros paralelos, verticales. Surco ungueal muy breve, retromargen con un diente muy cercano a la base de la uña; promargen con cuatro dientes, los dos angulares sobre una base común y dos más pequeños hacia la base de la uña. Patas IV-I-III-II. Quetotaxia: Fémures I d 1-1-1, p ap 2, r ap 1; II d 1-1-1, p ap 2, r 1-2; III d 1-1-1, p 1-2, r ap 2; IV d 1-1-1, p ap 2, r ap 2. Patellas I-IV p 1, r 1. Tibias I v 2-2-2, p 1-1, r 1-1; II v lr-2-2, p 1-1, r 1-1; III, IV d 1, v 1-2, p 1-1-1, r 1-1-1. Metatarsos I, II v 2-2, p ap 1; III, IV v ap 2, p 1-2, r 1-1-2. Palpos: (Figs. 1 y 2). Aspecto y color en alcohol: esencialmente como en la hembra. Largos pelos blancos dirigidos hacia adelante forman una banda que baja desde el espacio OMA-OLA hasta el borde del clípeo. También hay pelos blancos bordeando los ojos y en la cara anterior de los quelíceros. Patas pardo claro amarillento, con abundantes pelos blancos. Tarso I pardo con pelos pardos abundantes. Palpo pardo claro con fémur amarillo y pelos al tono. Los pelos de la apófisis tibial inferior son pardo negruzco. Opistosoma como el de la hembra, con un *scutum* pequeño, basal dorsal, anaranjado (Fig. 3).

Observaciones.—Variación en la quetotaxia: hembras, fémur IV p ap 2, r ap. 1 Tibias I v 2-2-lr; II p 1-1, r 1-1-1; III v lp-2. Metatarso III v lp-2. Machos, fémures I p ap 1. Patella I p 1. Tibia II v lr-lr-2. Metatarsos I, II p 0, r 0; III, IV v lp-2.

Material estudiado.—ECUADOR: *Tungurahua*, Baños (1800 m elev.), 10 April 1939 (col. W. C. Macintyre), 1 macho, 3 hembras (MCZ), 1 macho, 1 hembra N^o 7923 (MACN), July 1938, 1 hembra N^o 7924 (MACN).

Hurius petrohue, nueva especie

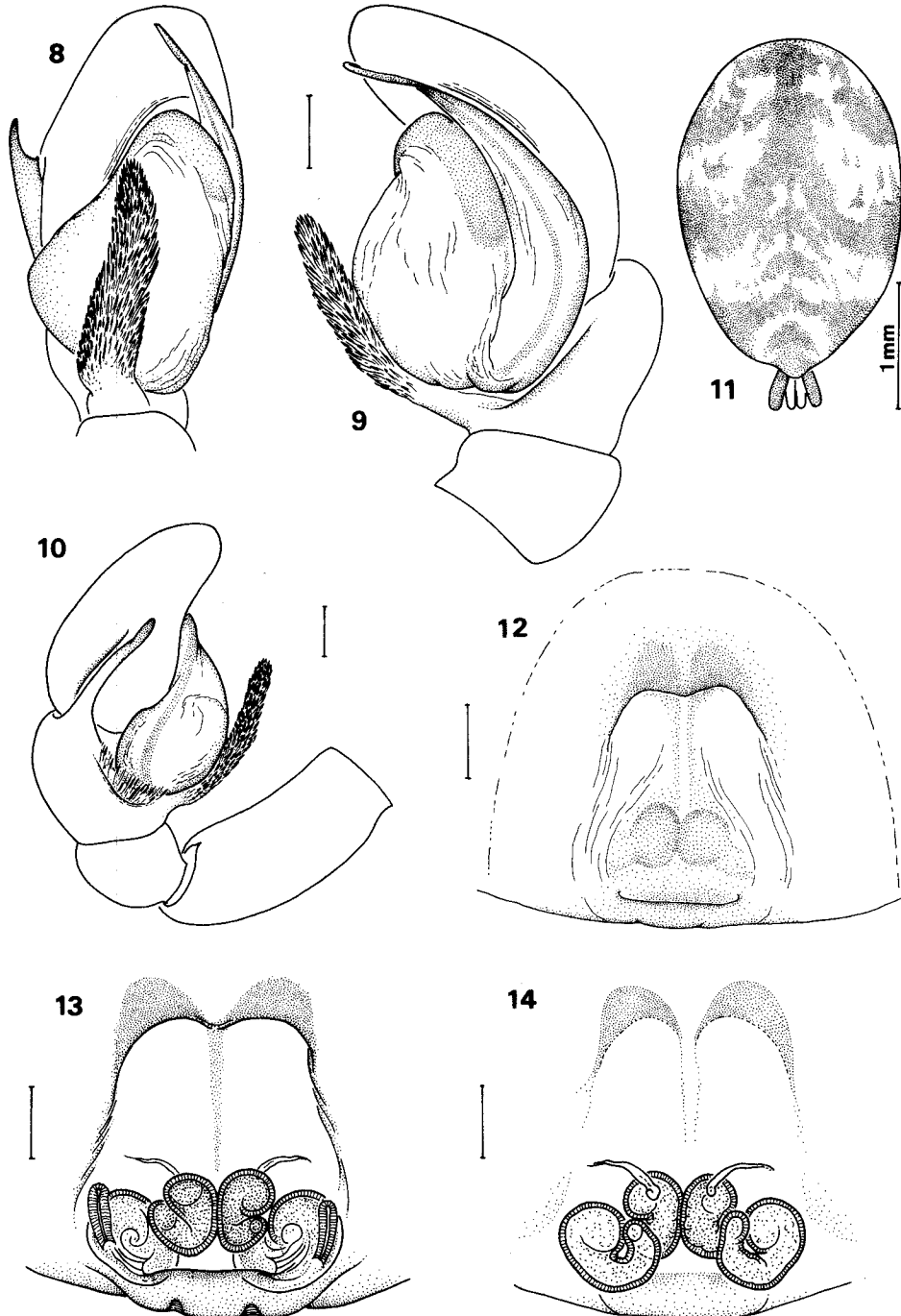
Figs. 8-14

Etimología.—El nombre específico es un sustantivo en aposición; corresponde a la denominación de la localidad típica.

Diagnosis.—Se diferencia de *H. vulpinus* por presentar los bolsillos de anclaje en la parte anterior del epigino y porque la apófisis tibial inferior del palpo es mucho más larga.

Descripción del Holotypus hembra.—Largo total 4.57. Prosoma: largo 1.83, ancho 1.40, alto 0.80. Clípeo, alto 0.08. Área ocular: largo 0.80; ancho de hilera anterior 1.18;

de hilera posterior 1.30; distancia OLA-OMP 0.18; OMP-OLP 0.25; diámetro OMA 0.40. Estría torácica situada 0.25 más atrás del borde posterior de OLP. Quelíceros pequeños, verticales, paralelos. Surco ungueal muy breve. Retromargen con un diente muy cercano a



Figs. 8-14.—*Hurius petrohue* sp. n., paratipo macho: 8, palpo, ventral; 9, palpo, prolateral; 10, palpo, retrolateral. Holotipo hembra: 11, opistosoma, dorsal; 12, epigino; 13, epigino clarificado, vista ventral; 14, el mismo, vista dorsal. Escala 100 μ , salvo indicación.

la base de la uña; promargen con cinco dientes, los dos angulares mayores y sobre una base común. Patas IV-I-III-II. Quetotaxia: Fémures I, II d 1-1, p ap 1; III d 1-1, p ap 1, r ap 1; IV d 1-1-1, p ap 1, r ap 1. Tibias I, v 2-2; II v lr-lr; III p 1, r 1; IV v 1p-2, p 1, r 1. Metatarsos I, II v 2-2; III v 1-2, p 1-2, r ap 2; IV v 1-2, p ap 2, r 1-2. Epigino: dos grandes bolsillos de anclaje situados contiguos y en el extremo anterior del epigino. Borde posterior engrosado. Entrada de los conductos próximos al reborde. Espermatecas contiguas, medianas. (Figs. 12-14). Aspecto y color en alcohol: prosoma pardo rojizo oscuro, con el borde anterior de la región cefálica algo más claro. Pelos blancos y pardo rojizos, distribuidos formando manchas de la siguiente manera: pelos blancos en el margen anterior y entre OMA y OLA y detrás de cada OLP. Pelos blancos bajo los OLA; en el clípeo, largos pelos blancos formando una barba orientada hacia adelante y cubriendo en parte la base de los quelíceros. Clípeo amarillo. Pelos blancos en los costados y en el declive torácico. El resto del prosoma con pelos pardo rojizos. Quelíceros amarillentos con pelos blancos. Opistosoma amarillo con grandes manchas pardas (Fig. 11). Patas pardas, las primeras más oscuras; la mitad basal de los fémures y patellas y la parte media de tibias y metatarsos, amarillentos. Palpos amarillos, con anillos pardos en base de patella, tibia y tarso, con abundantes pelos blancos. Esternón pardo negruzco.

Descripción del Paratypus macho N^o 7922 MACN.—Largo total 3.66. Prosoma: largo 1.63, ancho 1.22, alto 0.70. Clípeo, alto 0.10. Area ocular: largo 0.68; ancho de hilera anterior 1.03; de hilera posterior 1.11; distancia OLA-OMP 0.16; OMP-OLP 0.23; diámetro OMA 0.33. Estría torácica pequeña, situada 0.23 más atrás del borde posterior de OLP. Quelíceros verticales, paralelos. Surco ungueal muy breve; retromargen con un diente cercano a la base de la uña; promargen con tres dientes, dos de ellos sobre una base común. Es posible que exista un cuarto diente pequeño, que se ha desprendido. Patas IV-I-II-III. Quetotaxia: Fémures I, II, III d 1-1-1, p ap 2; IV d 1-1-1, p ap 1, r ap 1; Patella IV r 1. Tibias I v lr-2-1p, p 1-1; II v lr-lr, p 1; III p 1-1, r 1-1; IV v 1-2, p 1-1-1, r 1-1-1. Metatarsos I, II v 2-2; III v ap 2, p ap 2, r 1-1; IV v 1-2, p 1-2, r 1-1-2. Palpo: las dos apófisis tibiales muy largas; la retrolateral con el borde superior interno dentado; la ventral con gruesos, largos y densos pelos negros. El émbolo nace en el extremo inferior prolateral del bulbo; grueso en la mayor parte del trayecto se afina apicalmente. (Figs. 8-10). Aspecto y color en alcohol: prosoma pardo oscuro, con el margen anterior levemente más claro, con algunos pelitos blancos entre los ojos. El resto cubierto por pelos pardo negruzcos. Clípeo con una banda amarilla de guanina que abarca el espacio bajo los cuatro ojos; sin barba. Quelíceros rojizos, esternón pardo. Opistosoma pardo y amarillo, con diseño semejante al de la hembra, excepto que en el dorso basal hay un *scutum* pardo oscuro. Patas pardas, las primeras más oscuras que las otras, con tarsos negruzcos con abundantes pelos negros. Las otras patas anilladas de pardo oscuro negruzco, con anillos poco evidentes.

Observación.—Variación en la quetotaxia, hembras: fémures I, II d 1-1-1. Metatarso III p ap 2, r ap 2.

Material estudiado.—CHILE: *Llanquihue*; Petrohue, 19-20 marzo 1965 (col. H. W. Levi), 1 hembra Holotipus, 1 hembra Paratypus (MCZ), Volcán Oscorno, E. slope above Petrohue (400-1000 m elev.), 21 de marzo 1965 (col. H. W. Levi), 1 hembra, 1 macho Paratypi N^o 7922 (MACN).

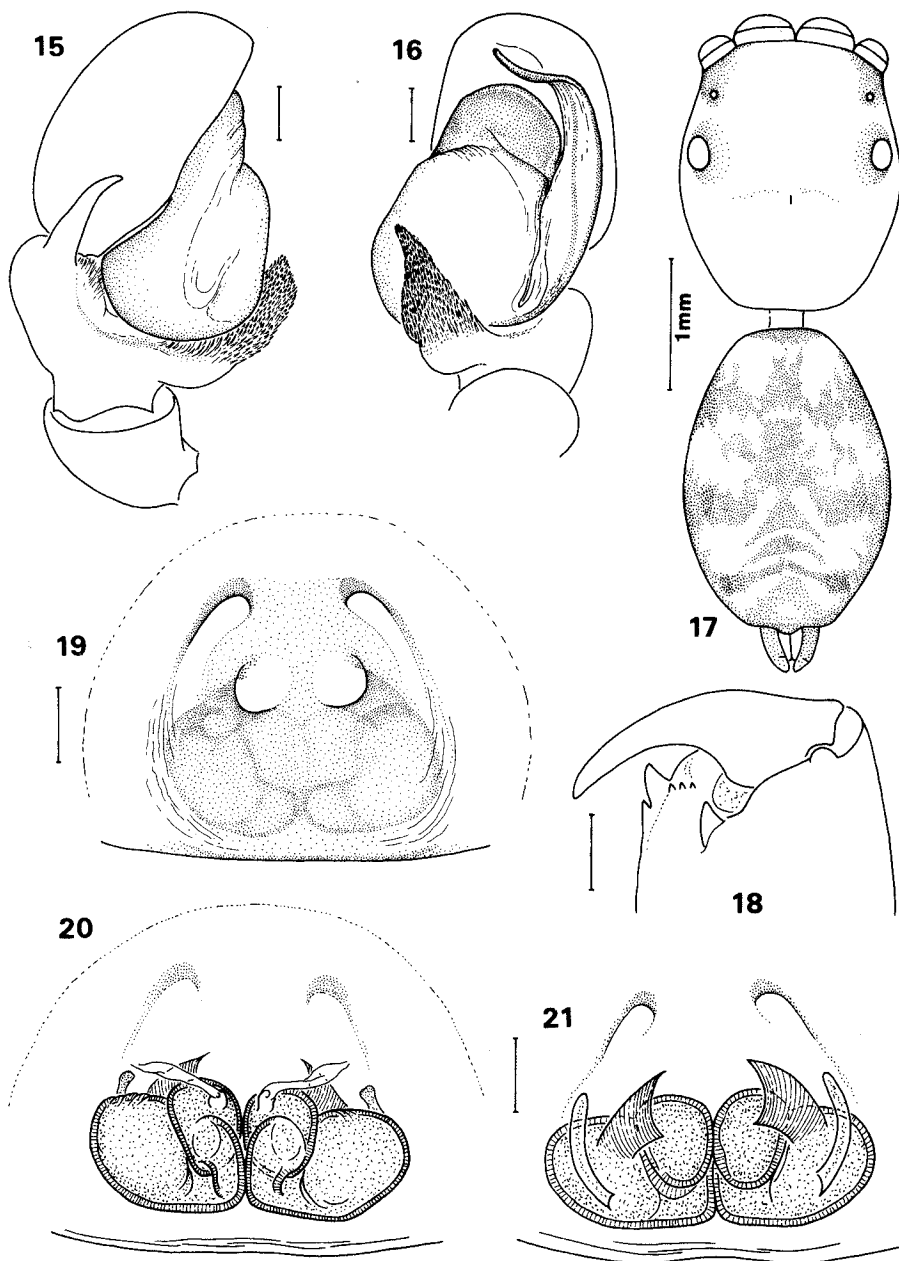
Hurius aeneus (Mello-Leitão, 1941) nueva combinación

Figs. 15-21

Spinurius aeneus Mello-Leitão 1941:187, fig. 80, t. xi fig. 53 [macho Holotipus, de R. Argentina: Tucumán; Bañado, (col. Birabén), N^o 14.989 (MPL), examinado]. Roewer 1954:1184.

Medidas del Holotipus macho.—Prosoma: largo 1.77, ancho 1.53, alto 0.93. Clípeo, alto 0.10. Area ocular: largo 0.97; ancho de hilera anterior 1.33; de hilera posterior 1.50; distancia OLA-OMP 0.23; OMP-OLP 0.26; diámetro OMA 0.43.

Descripción del macho N^o 5035 MACN.—Largo total 4.47. Prosoma: largo 2.03, ancho 1.72, alto 1.10. Clípeo, alto 0.11. Area ocular: largo 0.98; ancho de hilera anterior 1.43; de hilera posterior 1.57; distancia OLA-OMP 0.26; OMP-OLP 0.29; diámetro OMA



Figs. 15-21.—*Hurius aeneus* (Mello-Leitão), macho: 15, palpo, retrolateral; 16, palpo, ventral; 17, cuerpo; 18, quelícero, cara posterior. Hembra: 19, epigino; 20, epigino clarificado, vista dorsal; 21, el mismo, vista ventral. Escala 100 μ , salvo indicación.

0.43. Estría torácica 0.15 más atrás del borde posterior de OLP. Quelíceros paralelos, verticales; surco ungueal corto; retromargen con un diente fuerte; promargen con dos dientes sobre una base común (el angular mayor) y dos o tres dientes pequeños, en hilera orientada hacia el fondo del surco ungueal. (Fig. 18). Patas I-IV-III-II. Quetotaxia: Fémures I d 1-1-1, p ap 2; II d 1-1-1, p ap 2, r ap 2; III d 1-1-1, p 1-2, r ap 1; IV d 1-1-1, p ap 2, r ap 2. Patellas I-IV p 1, r 1. Tibias I v 2-2-2, p 1-1, r 1-1; II v 1-1-2, p 1-1-1, r 1-1; III-IV d 1-1, v 1-2, p 1-1-1, r 1-1-1. Metatarsos I v 2-2, p 1-1; II v 2-2, p 1-1, r 1; III v 2-2, p 1-2, r 1-2; IV v 2-2, p 1-2, r 1-1-2. Palpos: (Figs. 15 y 16). Aspecto y color en alcohol: prosoma alto y ancho, la región cefálica levemente deprimida entre los OLP que son bastante salientes. Color pardo oscuro, con la región cefálica pardo claro y abundantes pelos pardos y amarillos entremezclados. En la región cefálica los pelos se disponen en un patrón semejante al que se observa en algunas especies de *Sitticus*: en cada mitad del área ocular, los pelos se orientan divergiendo de una imaginaria línea longitudinal de modo que se orientan de cada lado hacia afuera (hacia los ojos laterales) y hacia la línea media del cuerpo, donde se encuentran con los correspondientes del lado opuesto. Entre los OLP y OMP y entre los OMA y OLP hay manchas de pelos blancos; también abundan en la región torácica. Bajo los OLA hay largos pelos blancos, que se dirigen hacia adelante y forman un fleco en el borde del clípeo, donde se confunden con los largos pelos blancos que cubren la cara anterior de los quelíceros. Esternón y piezas bucales pardo claro. Opistosoma amarillento, con manchas pardas formando tres anchas bandas transversas, vinculadas entre sí por manchas con forma de V invertida, más cortas (Fig. 17). Vientre amarillo, con ancha banda media parda. En la mitad basal del dorso, un *scutum* anaranjado, brillante. Patas pardas, las primeras más oscuras, con la mitad de tibias y metatarsos más claras, formando una anillación poco evidente. Tarsos I pardo oscuro, con abundantes pelos largos de ese color, que cubren todo el artejo. Palpos pardo claro, con abundantes pelos blancos; apófisis tibial ventral con pelos pardo oscuro cobrizo.

Descripción de la hembra N^o 7848 MACN.—Largo total 5.66. Prosoma: largo 2.30, ancho 1.98, alto 1.13. Clípeo, alto 0.08. Área ocular: largo 1.11; ancho de hilera anterior 1.66; de hilera posterior 1.90; distancia OLA-OMP 0.26; OMP-OLP 0.33; diámetro OMA 0.51. Estría torácica situada 0.06 más atrás del borde posterior de OLP. Quelíceros como los del macho. Patas IV-I-III-II. Quetotaxia: Fémures I d 1-1-1, p ap 2; II, III, IV d 1-1-1, p ap 2, r ap 1. Patellas III, IV r 1. Tibias I v 2-2-2; II v 1-2-2, p 1-1; III, IV lp-2, p 1-1-1, r 1-1-1. Metatarsos I, II v 2-2; III v lp-2, p 1-2, r 1-2; IV v 2-2, p 1-2, r 1-1-2. Epigino: dos bolsillos de anclaje poco profundos en posición anterior. Conductos y espermatecas parecidos a los de *H. vulpinus*. (Figs. 19-21). Aspecto y color en alcohol: esencialmente como en el macho, pero con el prosoma algo más ancho y alto. Color como en el macho, pero con las manchas claras del opistosoma menos notables. Las patas con anillos pardo oscuro más marcados que en el macho, con parte basal de fémures y patellas amarillos. Palpos pardo claro, con ápice de fémur, base de tibia y de tarso, pardo oscuro.

Observaciones.—El ejemplar típico es un macho que carece de palpos. El aspecto general, el color y la presencia de un área dorsal endurecida en el opistosoma permite afirmar que se trata de un espécimen adulto. La publicación original muestra que en el momento de tomarse la fotografía ya faltaban los palpos; la fig. 80 es un dibujo que me ha permitido identificar a los ejemplares que aquí se describen. Seguramente por un error de imprenta, al comienzo de la descripción original de la especie aparece el símbolo de hembra, aunque se está describiendo el macho cuyo palpo se ilustra. Esta confusión llevó a Roewer a mencionar que Mello-Leitão describió macho y hembra. Hay también inexactitudes en la descripción de los caracteres por parte del autor, p.e., solo menciona dos dientes en promargen; dice que los ojos de la segunda hilera están separados de los OLA

por el doble del espacio que los separa de OLP, menciona un clípeo densamente barbado y describe la patella I como sin espinas. Como se ha podido comprobar estudiando el tipo, se trata de fallas de observación.

En otros ejemplares estudiados se ha observado la siguiente variación en la quetotaxia: machos, tibias II d 1; III, IV v 2-2, p 1-1-1-1, r 1-1-1-1. Metatarsos III, IV r 2-1-2. Hembras, tibias I p 1-1; II v lp-2-lr; III v 2-2, r 1-1-2; IV v 2-2. Metatarso IV v lp-2.

Material estudiado.—R. ARGENTINA: *Córdoba*: Santa Rosa de Calamuchita, marzo-abril 1958 (col. M. J. Viana), 3 machos N^o 5035 (MACN); San Alberto, Las Calles, 10 junio 1972 (col. G. Willinger), 2 hembras N^o 7848 (MACN); La Falda, marzo 1951 (col. M. J. Viana), 1 hembra N^o 7847 (MACN).

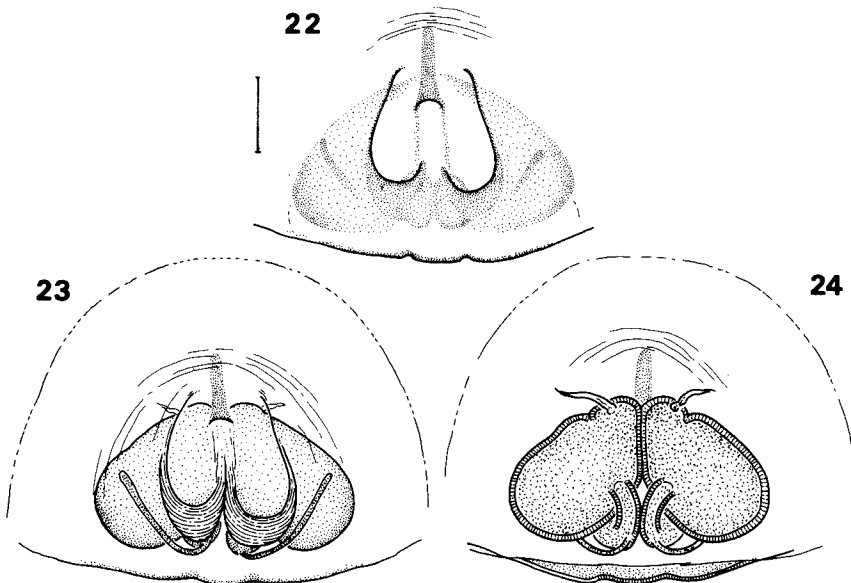
Hurius pisac, nueva especie

Figs. 22-24

Etimología.—El nombre específico es un sustantivo en aposición; corresponde a la denominación de la localidad típica.

Diagnosis.—Se distingue de las otras especies por tener un solo bolsillo de anclaje impar y medio en el epigino.

Descripción del Holotipus hembra.—Largo total 4.80. Prosoma: largo 2.00, ancho 1.57, alto 0.93. Clípeo, alto 0.07. Área ocular: largo 0.90; ancho de hilera anterior 1.40; de hilera posterior 1.52; distancia OLA-OMP 0.21; OMP-OLP 0.26; diámetro OMA 0.46. Estría torácica situada 0.28 más atrás del borde posterior de OLP. Quelíceros con un diente en retromargen y cuatro en promargen. Quetotaxia: Fémures I d 1-1-1, p ap 2; II, III, IV d 1-1-1, p ap 2, r ap 1. Patellas II p 1; III, IV r 1. Tibias I v 2-2-2; II v lr-lr-2, p 1-1; III v ap 2, p 1-1, r 1-1-1; IV v lp-2, p 1-1-1, r 1-1-1. Metatarsos I, II v 2-2; III v 1-2, p 1-2 (r 1-2 ?); IV v lp-2, p 1-1-2, r 1-1-2 (muchas de las espinas se han caído y la quetotaxia se establece por los puntos de inserción). Epigino: un bolsillo de anclaje impar y medio en la parte anterior del epigino. Espermatecas muy grandes. (Figs. 22-24). Aspecto y color en



Figs. 22-24.—*Hurius pisac* sp. n., holotipo hembra: 22, epigino; 23, epigino clarificado, vista ventral; 24, el mismo, vista dorsal. Escala 100 μ .

alcohol: prosoma robusto, pardo, con la región cefálica negruzca. Hay una mancha con forma de Y, cuyo extremo posterior apoya en la estría, de color amarillento, que transparenta manchas de guanina blanca. El margen anterior de la región cefálica es amarillento. Opistosoma amarillento con manchas pardo oscuro, que forman en la línea media una sucesión de triángulos pardos, algunos con los brazos oblicuamente prolongados hacia los costados. Lados amarillos con manchitas pardo negruzco. Patas amarillo pardusco, con anillos pardo oscuro en ápice de fémur, base de patella, base y ápice de tibia y base de metatarso y tarso. Palpos amarillentos con una manchita parda en base de patella, tibia y tarso.

Observación.—El Holotypus es el único ejemplar conocido hasta el momento.

Material estudiado.—PERÚ: *Departamento Cusco*; Pisac (3000 m elev.), 13 enero 1983 (col. A. Roig), 1 hembra Holotypus N^o 7927 (MACN).

AGRADECIMIENTOS

Expreso mi reconocimiento por el préstamo de ejemplares típicos y colecciones de material indeterminado, a las siguientes personas: Dr. Max Vachon (MNHN), Dr. Herbert W. Levi (MCZ), Dra. Olga Blanco (MLP).

LITERATURA CITADA

- Bonnet, P. 1955-1958. *Bibliographia Araneorum*. Toulouse, 2(2-4):919-4230.
- Brignoli, P. M. 1983. *A Catalogue of Araneae described between 1940 and 1981*. Manchester Univ. Press, 719 pp.
- Galiano, M. E. 1963. Las especies americanas de arañas de la familia Salticidae descritas por Eugène Simon. Redescripciones basadas en los ejemplares típicos. *Physis* (Buenos Aires), 23(66):273-470.
- Galiano, M. E. 1970. Revisión del género *Tullgrenella* Mello-Leitão, 1941 (Araneae, Salticidae). *Physis* (Buenos Aires), 29(79):323-355.
- Mello-Leitão, C. 1941. Las arañas de Córdoba, La Rioja, Catamarca, Tucumán, Salta y Jujuy. *Rev. Mus. La Plata (N. S.) Zool.*, 2(12):99-198.
- Mello-Leitão, C. 1944. Arañas de la provincia de Buenos Aires. *Rev. Mus. La Plata (N. S.) Zool.*, 3(24):311-393.
- Neave, S. A. 1939. *Nomenclator Zoologicus*. London, 2:1-1025.
- Petrunkévitch, A. 1911. *A Synonymic Index-Catalogue of Spiders of North, Central and South America with all adjacent Islands, Groenland, Bermuda, West Indies, Terra del Fuego, Galapagos, etc.* *Bull. Am. Mus. Nat. Hist.*, 29:1-791.
- Petrunkévitch, A. 1928. *Systema Araneorum*. *Trans. Connecticut Acad. Arts Sci.*, 29:1-270.
- Platnick, N. I. y M. U. Shadab. 1975. A revision of the spider genus *Gnaphosa* (Araneae, Gnaphosidae) in America. *Bull. Am. Mus. Nat. Hist.*, 155(1):1-66.
- Roewer, C. F. 1954. *Katalog der Araneae*, 2b:927-1751.
- Simon, E. 1901a. *Histoire Naturelle des Araignées*, 2(3):381-668.
- Simon, E. 1901b. *Descriptions d'Arachnides nouveaux de la famille des Attidae (suite)*. *Ann. Soc. entomol. Belgique*, 45:141-161.

Manuscript received March 1984, accepted April 1984.